

論文

UDC 660.162.282 : 622.341.1-185 : 669.162.263.43

半径方向に粒度分布をもつ固定層における 焼結鉱の CO ガス還元*

天辰正義**・相馬胤和***

Reduction of Sintered Ore by CO Gas in Fixed Bed with
Radial Distribution of Particle Sizes

Masayoshi AMATATSU and Tanekazu SÔMA

Synopsis:

The characteristics of the reduction process of sintered ore in a fixed bed with the radial distribution of particle sizes were studied. The reduction rate of sintered ore by CO gas was measured continuously by a weighing method in the range of reducing gas flow rate from 12.6 to 50.4 Nl/min at 900°C.

The following results were obtained.

(1) At a constant ratio of the bed weight to gas flow rate (M/V), 25 g·min/Nl the effect of gas film resistance in the range of reducing gas flow rate from 12.6 to 50.4 Nl/min on the reduction process was to be disregarded.

(2) The gas utilization coefficient obtained in the fixed bed with a mixed charge of different sizes of sintered ore was observed to be greater than that obtained with a radially distributed charge of the same sintered ore. The calculated results using the rate constants for the reduction process for the uniform size in a bed were in a good agreement with the data obtained in the fixed bed with a mixed charge and a distributed charge of different sizes of sintered ore, respectively.

(3) In a fixed bed with a radially distributed charge of different sizes of sintered ore, the effect of gas flow rate in the range from 12.6 to 24.4 Nl/min on the reduction process was small.

(Received April 9, 1974)

1. 緒 言

高炉に装入される原料は炉頂装置、装入方法および装入物などの特性によって、その充填状態が炉断面で不均一分布状態であり、各高炉によってそれは個々別々である。炉内の不均一分布特性は炉内の試料採取、温度および圧力などの測定^{1)~5)}によって解明され、その結果が高炉操業法を改善する手段となつていている。そうして、粒度調整および予備処理がなされた原料を多く使用するようになつた⁶⁾。さらに高炉の大型化に伴つて、炉内の分布を適正な状態に維持することはますます重要な課題となつていて、著者ら⁷⁾は先に高炉の操業条件を規定する送風量および炉内ガス分布を解析するために、半径方向に粒度分布がある向流移動層における圧力損失および

ガス流速分布を測定した。

本研究では、半径方向に粒度分布をもつ固定層における焼結鉱の CO 還元反応に及ぼす装入焼結鉱の粒度の組合せ、装入方法およびガス流速の影響について実験を行ない、以下の結果を得たので報告する。

2. 実験装置および実験方法

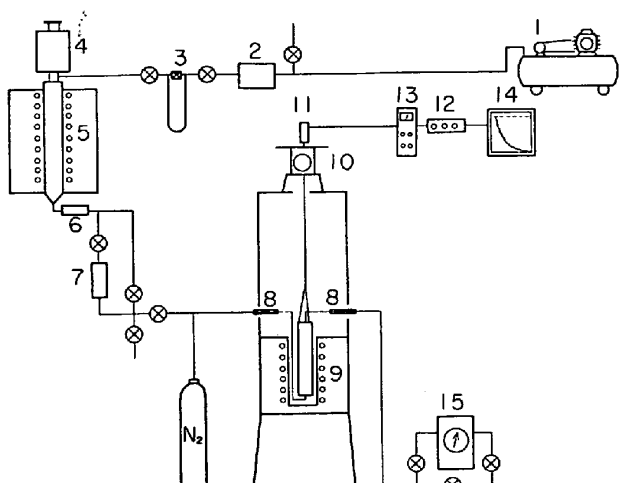
2.1 還元ガス

還元ガスには活性炭と空気との反応から得られる変成ガスを使つた。この変成ガスは以下に述べる方法でつくつた。Fig. 1 に実験装置全体のフローシートを示す。空気をコンプレッサー①によつて、10~40 Nl/min 送風し、シリカゲル層②を通して脱湿し、変成炉⑤へ送風する。変成炉は SiC 発熱体による外熱式の炉であり、中心

* 昭和47年10月本会講演大会にて発表 昭和49年4月9日受付

** 東京大学工学部 (University of Tokyo, Hongo, Bunkyo, Tokyo 113)

*** 東京大学工学部 工博 (University of Tokyo)

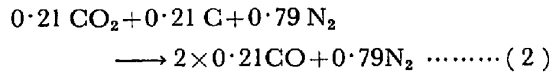
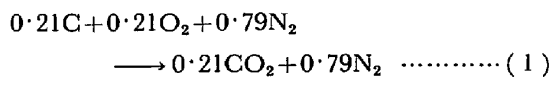


1. Compressor
2. Silica gel
3. Orifice
4. Carbon holder
5. Gas generator
6. Cooling bed
7. Silica gel
8. Silicon rubber tube
9. Reduction reactor
10. Balance
11. Strain gauge
12. Amplifier
13. Low-pass filter
14. Recorder
15. Gas meter

Fig. 1. Experimental apparatus.

部に内径 80 mm ϕ のステンレス鋼管 (SUS-42) がある。この反応管の上部に活性炭約 10 kg を充填したホッパー④を設けた。反応管の温度を上段 900°C、中段 1050°C および下段 1100°C に保持した。

乾燥空気と炭素との反応は次式で示される。



上の反応の平衡を仮定すると、1000°C 以上では、送風された空気は CO と N₂のみに変成されることになる。それらの濃度を計算するとそれぞれ CO=34.7%，N₂=65.3%である。

変成されたガスをガスクロマトグラフによって分析した結果、Table 1 に示すように空気送風量によって異なる値を得た。CO₂とH₂を若干含んでいるが、CO濃度に比較して十分少ないので、このまま還元ガスとして使用した。

Table 1. Composition of reducing gases (%).

Air vol. rate (Nl/min)	CO	CO ₂	H ₂	N ₂	Reducing gas vol. rate (Nl/min)
10	35.8	0.4	1.4	62.4	12.6
15	34.3	0.7	0.8	64.2	18.5
20	33.5	1.0	0.6	64.9	24.4
40	32.9	3.0	1.3	62.7	50.4

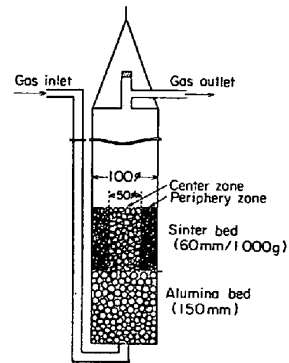


Fig. 2. Reactor.

2-2 還元反応

還元反応の実験に使用した反応管を Fig. 2 に示す。ガス入口側は内径 20 mm ϕ 、反応部は内径 100 mm ϕ のステンレス鋼管 (SUS-27) である。反応管の下部にアルミナペブル (層高約 150 mm) を充填し、それをガス予熱帶とした。このアルミナペブル層の上に金網を敷き、焼結鉱を充填する。

焼結鉱層の層高は 1000 g の場合 60 mm であった。粒度の異なる焼結鉱を装入して還元実験を行なうときには、肉薄の鋼管 (外径 50 mm ϕ) を反応管の中心部に入れることによつて反応層を同心円状に中心帯と周辺帯とに分割する。それぞれの帯に焼結鉱を装入し、中心部の鋼管を引き上げる。焼結鉱の充填量は中心帯と周辺帯の層高が一致する量とした。焼結鉱を反応管に充填し、N₂気流中で所定の還元温度 (900°C) になるまで加熱し、還元反応を開始する。

加熱開始前に反応管を天秤 (最大秤量 20 kg、精度 1 g) に吊り、反応管の入口および出口をシリコンゴム管で接合し、バランスを取る。還元反応に伴なう重量の減少を Si 半導体歪計で検出し、増幅器および low-pass filter (3 cycle/sec) に通して連続記録した。100 g の重量減少は 40 μ の歪量に相当し、増幅器を調整して 10 mV の出力になるようにした。

重量減少の経時変化を 3 min ごとに記録紙から読み取り、還元率 R およびガス利用率 η をそれぞれ次式から算出した。

$$R = \frac{(W_0 - W_t)}{W_0} \times 100 \quad (\%) \dots \dots \dots (3)$$

$$\eta = \frac{\Delta u + CO_2, in}{(CO + CO_2) in} \times 100 \quad (\%) \dots \dots \dots (4)$$

ここで、 Δu は単位時間 Tu (3 min) におけるガス利用率の増加率であり、重量減少量 ΔW を用いて次式から得ることができる。

$$\Delta u = 1 \cdot 4 \times \Delta W / V \cdot Tu \times 100 \quad (\%) \dots \dots \dots (5)$$

還元ガス流量 V を乾式ガス流量計によつて、実験の開始時と終了時の2回測定した。その結果、反応管入口のガス分析値と空気送風量との窒素バランスから計算されたガス流量とよく一致した。

還元実験に使つた焼結鉱の組成(wt%)および密度 ρ_s (g/cm³)はそれぞれ次の値である。

$$\text{Total Fe} = 55.9, \text{FeO} = 8.91, \rho_s = 4.0$$

3. 予備実験

充填層の半径方向に粒度が均一分布であるとき、ガス流速分布は均一分布であると見なされている。一方、層の半径方向に粒度が不均一分布であるとき、ガス流速は不均一分布となることが得られた⁷⁾。すなわち、ガス流速分布はガス流量と粒度分布とによって変化する。

したがつて、半径方向に不均一粒度分布をもつ焼結鉱層の還元特性を明らかにするには、均一粒度分布焼結鉱層の還元速度に及ぼす充填量、粒度およびガス流速の影響を明らかにすることが必要である。

3.1 焼結鉱の充填量と還元ガス量の決定

焼結鉱の充填量 M (g)と還元ガス流量 V (以下これを空気流量 Nl/min で表わす)によつて還元反応は規定されるので、層内の還元ガスが平衡濃度に達しない条件および還元時間 3 hr 以内で還元率が約 80%に達する還元速度の条件を満足するようにそれらを決定した。

還元速度に及ぼすガス流速の影響を正確に把握するためには、広範囲のガス流量を選ぶことが望ましい。しかしながら、活性炭と空気との反応から得られる還元ガスの成分は空気送風量によつて変化し、空気送風量を増すと CO₂ 成分は増大する。空気送風量 40 Nl/min で CO₂ は 3%になつたので、これより送風量を増すと CO₂ 成分が高まり、還元速度が遅くなることおよびガス成分が不安定になることが考えられる。したがつて、最大空気送風量を 40 Nl/min(全還元ガス流量 = 50.4 Nl/min)とした。

$V=40$ Nl/minにおいて、焼結鉱の充填量を 500, 1 000, 1 500 および 2 000 g として得られた還元率曲線を Fig. 3 に示す。これらの結果から、 $V=40$ Nl/min および $M=2 000$ g とすれば初期還元ガス濃度は(4)式からガス利用率は 45%となり、平衡組成に達せず、しかも還元時間 3hr で約 80%の還元率になる還元速度である。したがつて、充填量 M とガス流量 V との比 M/V の最大値を 50(g · min/Nl)とする。

3.2 ガス流速依存性

均一粒度の焼結鉱充填量 M (g)と還元ガス流量(空気流量 V Nl/min)との比 M/V を一定とし、ガス量を

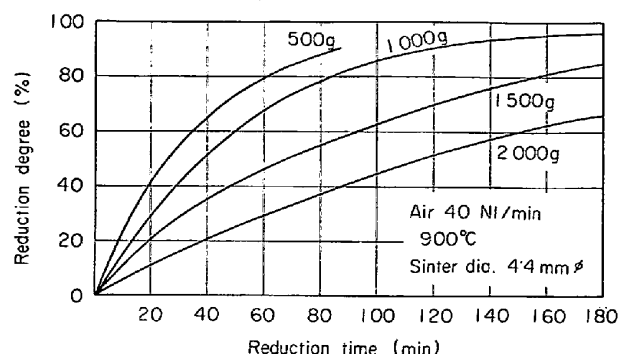


Fig. 3. Effect of packed weight on reduction process.

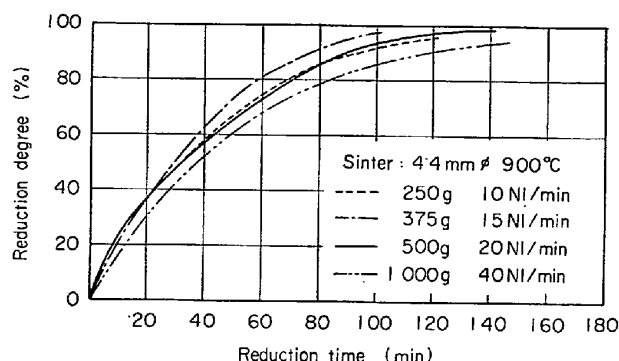


Fig. 4. Dependence of reduction process on gas velocity.

増加あるいは減少したときの還元プロセスに及ぼすガス流速の影響を調べた。

空気送風量 40 Nl/min および焼結鉱の充填量 1 000 g のとき、 $M/V=25$ となる。 M/V の値を一定とし、ガス流量 V を 20, 15 および 10 Nl/min とすれば焼結鉱の充填量 M はそれぞれ 500, 375 および 250 g となる。これらの条件において得られた還元率曲線を Fig. 4 に示す。空気送風量が 10 および 20 Nl/min での結果はよい一致を示している。しかし、40 Nl/min のそれは予想(流速が早くなると境膜抵抗がそれだけ小さくなり、還元速度は早くなる)とは反対に、Fig. 4 の結果では遅くなっている。これは入口ガス中の CO₂ 成分を考慮した利用率曲線から理解できる。すなわち、Fig. 5 にその利用率曲線を示すが、(4)式のガス利用率は還元速度に比例した値であることおよび入口ガス中の CO₂ 成分(3%)を考慮すれば、利用率曲線は一致していると見ることができる。

したがつて、 $M/V=25$ (g · min/Nl) で $V=10\sim40$ Nl/minにおいてガス境膜抵抗はほぼ無視できる結果が得られたので化学反応とガス拡散とを考慮した混合律速過程に基づいて、還元率、ガス利用率および還元速度定数を算出することができる。

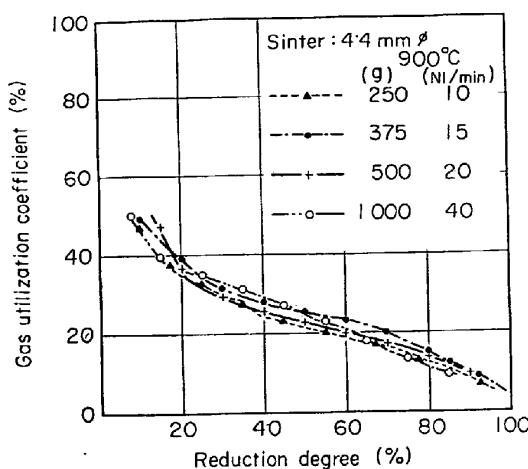


Fig. 5. Dependence of reduction process on gas velocity.

3.3 粒度依存性

焼結鉱の表面状態は複雑であり、形状も不規則であるので、真の反応界面積あるいは球形近似の粒子径を表わすことは困難である。本実験で使った焼結鉱の平均粒度は篩い目の相加平均値で代表した。

粒度によって焼結鉱の還元速度が異なれば、粒度の異なる焼結鉱を装入した層における還元過程ではそれらの影響を考慮しなければならない。

Table 2 には後述する還元反応の理論モデル計算から算出された速度定数を示す。これらから明らかのように粒度が 8.3 mm ϕ では反応速度定数がやや大きくなっている。しかし、7.3 mm ϕ 以下の焼結鉱ではほぼ一致している。したがつて、粒度が大きくなると真の反応界面積が大きくなる傾向があるが、以下の還元実験および還元反応の諸計算では還元速度定数に及ぼす粒度の影響が無視できる粒度の焼結鉱を使つた。

4. 実験結果

4.1 分布装入と混合装入

平均粒度が異なる 2 粒度の焼結鉱を選び、中心帯と周辺帯とに分けて装入（以下分布装入と呼ぶ）して得られた還元過程とあらかじめ大粒子と小粒子の焼結鉱を混合して装入（以下混合装入と呼ぶ）して得られた還元過程の結果を比較する。

Table 2. Calculated coefficients for reduction process (900°C).

Mean dia. (mm ϕ)	K_w	K_m	K_t	F_w	F_m	F_h	D_w	D_m	D_h
3.2	0.04	0.015	0.006	0.2	2.0	2.0	0.006	0.0012	0.0005
4.4	0.03	0.010	0.008	0.2	2.0	1.2	0.033	0.0011	0.0015
7.3	0.04	0.015	0.008	0.1	1.8	1.1	0.146	0.0030	0.0027
8.7	0.06	0.020	0.010	0.1	2.2	1.3	0.261	0.0040	0.0033

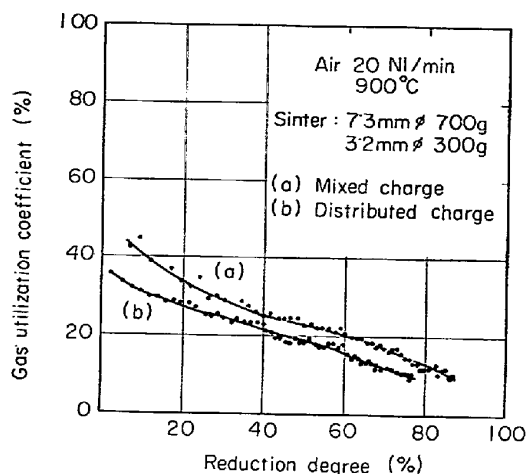


Fig. 7. Comparison between mixed charge and distributed charge.

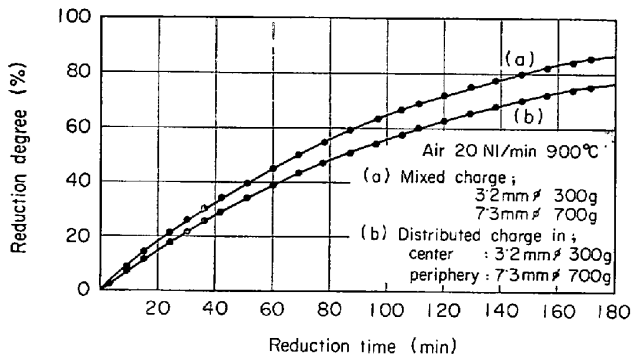


Fig. 8. Comparison between distributed charge and mixed charge.

増大に伴なつて中心帶と周辺帶とのガス流速比は一定値に減少すること、すなわちより均一流速分布になることを実測と計算とから得ている⁷⁾。

一方還元過程において、層内の粒度が均一分布であるときのガス流量の影響は M/V の値が一定のときはほぼ無視できることがわかつたので、さらに分布装入層の還元プロセスに及ぼすガス流量の影響を調べた。

実験条件として、中心帶および周辺帶の焼結鉱粒度をそれぞれ 7.3 および 3.2 mm φ とし、分布装入した。充填量はそれぞれの断面積に比例した量であり、その比は 1:3 である。空気送風量 V を 10, 15 および 20 NI/min とし、充填量 M をそれぞれ 500, 750 および 1 000 g とした。

Fig. 9 にそれらの結果を還元率曲線で示す。図から $V=20$ NI/min での還元曲線が他の結果に比べればやや早くなつてゐるが、これは流量の影響を顕著に示している値とは思われない。

半径方向に粒度分布があるときの中心帶と周辺帶のガス流速比は、送風量 10, 15 および 20 NI/min におい

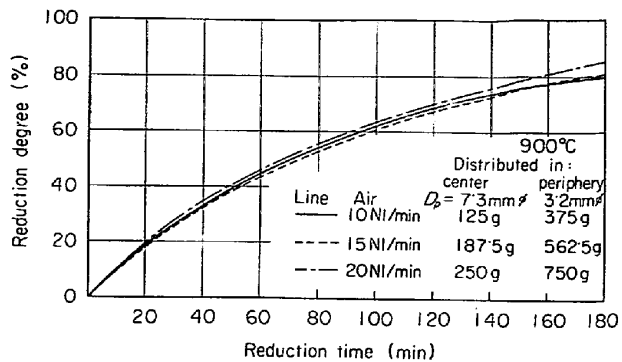


Fig. 9. Effect of gas velocity on reduction of fixed bed with radial distribution of particle size.

て 4.2, 3.9, 3.7 と変化することが、これまでの実験結果⁷⁾から算出される。また、これらの流速比において還元反応に及ぼすガス流量の影響はガス利用率で最大 2%高くなることが後述する還元反応の計算結果から得られた。したがつて、分布装入層における還元反応はその粒度分布によつて著しく影響されるものと考えられる。

5. 還元反応の計算

5.1 均一粒度焼結鉱層の還元速度定数

予備実験において均一粒度の焼結鉱層の還元速度に及ぼすガス流速の影響は、ほぼ無視できる結果が得られたので、以下の還元反応の計算では界面反応および粒内ガス拡散を考慮した混合律速モデルを用いた。また反応界面は、 $\text{Fe}_2\text{O}_3-\text{Fe}_3\text{O}_4$, $\text{Fe}_3\text{O}_4-\text{FeO}$ および $\text{FeO}-\text{Fe}$ の 3 界面であり、それぞれの界面における反応速度定数および拡散定数を算出した⁸⁾。

単位時間 (3 min) 当たりの還元反応は、 Fe_2O_3 , Fe_3O_4 および FeO の順に進行し、ガス利用率は同順に合計され、次の層の入口条件となる。一定時刻における還元率は焼結鉱層の平均還元率であり、ガス利用率は焼結鉱層の出口ガス利用率である。

還元率 10, 30, 60 および 80% の 4 点において、還元率の計算値と実測値とがそれぞれ一致するように、反応速度定数 $K_i (\text{g}/\text{cm}^2 \cdot \text{min})$ と $F_i (-)$ を求めた。ここで、 F_i は反応速度定数と拡散定数との比で示される無次元数であり、 $F_i = r_0 K_i / D_i$ で示される。

Table 2 に速度定数の算出結果を示した。これらの計算結果と実測値を、利用率曲線で Fig. 10 に示す。

5.2 不均一粒度焼結鉱層の還元反応

分布装入の焼結鉱層におけるガス流速分布は、中心帶と周辺帶の粒度およびガス流量から算出することができる⁷⁾。すなわち、充填層の半径方向にガス圧力分布は均

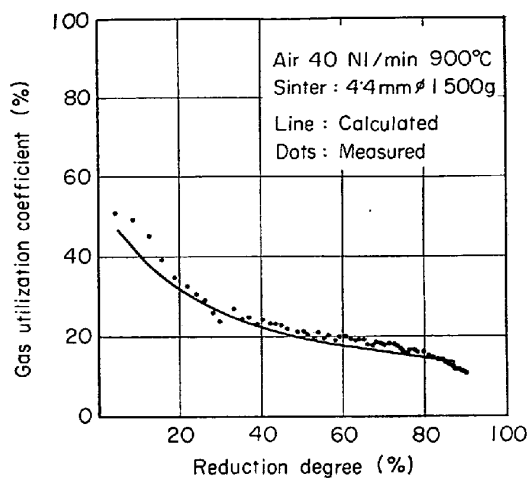


Fig. 10. Comparison between calculated results and measured data.

一であり、中心帶および周辺帶のガス流れはピストン流であるとし、ガス圧力損失式として ERGUN の式⁹⁾が適用できるとすれば、次式が導入される。

$$u_1 S_1 + u_2 S_2 = u(S_1 + S_2) \dots \dots \dots (6)$$

$$\begin{aligned} & \frac{150\mu_f u_1}{D_{p_1}^2} \cdot \frac{(1-\varepsilon)^2}{\varepsilon^3} + \frac{1.75\rho_f u_1^2}{D_{p_1}} \cdot \frac{(1-\varepsilon)}{\varepsilon^3} \\ & = \frac{150\mu_f u_2}{D_{p_2}^2} \cdot \frac{(1-\varepsilon)^2}{\varepsilon^3} + \frac{1.75\rho_f u_2^2}{D_{p_2}} \cdot \frac{(1-\varepsilon)}{\varepsilon^3} \end{aligned} \dots \dots \dots (7)$$

(6) および (7) 式から、中心帶と周辺帶のガス流速 u_1 , u_2 をそれぞれ求めることができる。

したがつて、各帶の還元ガス流量が算出されるので、中心帶と周辺帶をそれぞれ均一粒度の焼結鉱層とみなすことによつて、(5・1) で述べた計算順序に従つて還元反応の計算を行なうことができる。計算において、層の還元率およびガス利用率はそれぞれ各帶の平均値で表わす。一方、混合装入の焼結鉱層において、半径方向のガス流速分布は均一であると見なすことができる。また、層の平均粒度は充填量に比例した相加平均値で表わした。還元反応の速度定数 (K_i と F_i) は粒度に依存しない値とし、Table 2 の値を用いた。

Fig. 11 に分布装入および混合装入における実験結果を還元率曲線で示す。また、Fig. 12 および Fig. 13 にはそれぞれ計算値と実測値を利用率曲線で示す。図から明らかなように、混合装入におけるガス利用率は分布装入におけるそれより 5~10% 高くなつておる、それだけ還元速度が早くなつてゐることが認められる。また、混合装入および分布装入における実測値と計算値とはそれぞれよく一致している。したがつて、層の半径方向に粒度分布が不均一分布であれば、ガス流速分布が半径方向

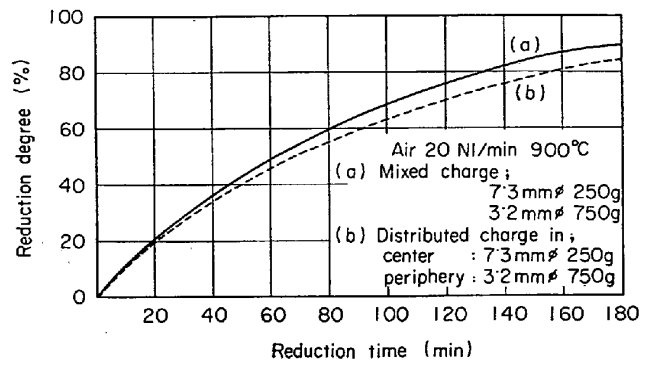


Fig. 11. Comparison between distributed charge and mixed charge.

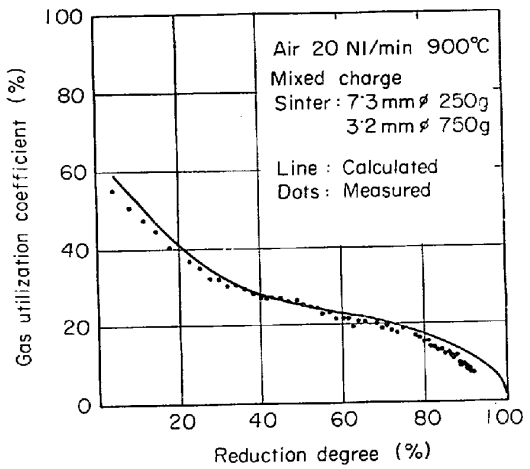


Fig. 12. Comparison between measured results and calculated data.

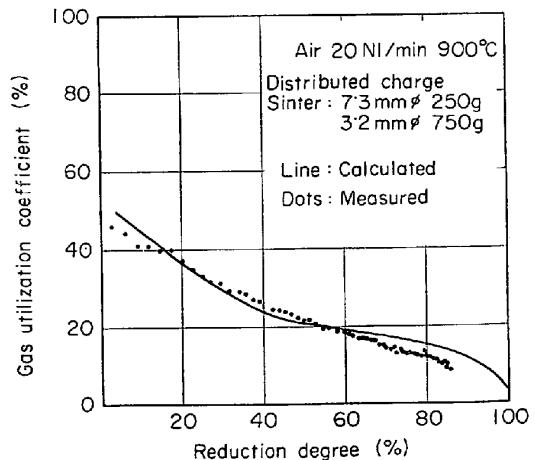


Fig. 13. Comparison between measured results and calculated data.

に不均一分布となり、ガス利用率は均一粒度分布層のそれより低下することを実測値および理論モデル計算から説明することができた。

6. 結 言

半径方向に粒度分布をもつ焼結鉱層のCOガス還元実験によつて次の結果を得た。

(1) 焼結鉱の充填量 $M(\text{g})$ とガス流量 $V(\text{Nl}/\text{min})$ の比 M/V が一定値 25 のとき、ガス流量が 10~40 (Nl/min) の範囲では還元反応に及ぼすガス境膜抵抗の影響は無視できる。

(2) 混合装入層におけるガス利用率は分布装入層におけるそれより高くなることが実測値から得られた。また、それぞれの層についての還元反応のモデル計算結果と実測値とはよく一致した。ガス利用率の差異は粒度の組合せ、充填量およびガス流量によつて変化するが、特に粒度の組合せに依存する。

(3) 分布装入層での還元反応に及ぼすガス流速の影響は 10~20 (Nl/min) のガス流量範囲では、誤差範囲を考え、無視できる結果が得られた。

記 号

D_p : 焼結鉱の粒径 (cm)

D_i : ガス拡散定数 ($\text{g}/\text{cm} \cdot \text{min}$)

F_i : 無次元数 ($F_i = r_0 K_i / D_i$)

K_i : 反応速度定数 ($\text{g}/\text{cm}^2 \cdot \text{min}$)

n_0 : 焼結鉱中の結合酸素 (23.0%)

R : 還元率 (%)

r_0 : 焼結鉱の半径 (cm)

S : 層の断面積 (cm^2)

T_u : 還元反応の単位時間 (min)

u : 空塔速度 (cm/sec)

Δu : ガス利用率の増加率 (%)

V : ガス流量 (Nl/min)

W_0, W_t : 還元開始時および時刻 t における重量 (g)

ϵ : 空隙率 (-)

η : ガス利用率 (%)

μ_f : ガス粘性係数 ($\text{g}/\text{cm} \cdot \text{sec}$)

ρ_f : ガス密度 (g/cm^3)

添 字

h : ヘマタイトからマグネタイトへの還元

m : マグネタイトからウスタイトへの還元

w : ウスタイトから海綿鉄への還元

文 献

- 1) S. P. KINNEY: Tech. Paper No 442, Bureau of Mines, (1929)
- 2) L. A. BYALYI and A. P. KOTOV: Stal in Eng., (1966), p. 956
- 3) 東大生研: 試験高炉第23次報告書, (1972)
- 4) 住金中央技研: 学振54委, 1060(1967)
- 5) 館: 鉄鋼協会共同研究会資料, (1972)
- 6) Y. DOI and K. KASAI: J. Metals, (1959), p. 755~759
- 7) 天辰, 館: 鉄と鋼, 59(1973), p. 46~54
- 8) 相馬: 鉄と鋼, 54(1968), p. 1431~1437
- 9) S. ERGUN: Chem. Eng. Progress, 48(1952), p. 89~94